

## КОМПЕНСАЦИЯ РЕФРАКЦИОННЫХ ИСКАЖЕНИЙ ВОЛНОВОГО ПУЧКА ПРИ ПОМОЩИ ВОЛНОВОДОВ ВИДА КАНАЛ В ДИЭЛЕКТРИКЕ

В.А. Епишин, В.Н. Рябых, В.А. Свич,  
А.Н. Топков, А.Б. Федотов

Компенсация рефракционных искажений (РИ) волнового пучка (ВП) является одной из основных проблем лазерной интерферометрии неоднородных сред, например высокотемпературной плазмы. Отклонение ВП, вызванное РИ, пропорционально квадрату длины волны  $\lambda$  [1]. Это ставит компенсацию РИ в интенсивно развивающейся субмиллиметровой интерферометрии в ряд наиболее актуальных задач.

В настоящее время известны как внутрирезонаторные [2], так и внешние [3–5] методы компенсации искажений, связанных с неоднородностями среды. Из систем, предложенных в последнее время для субмиллиметровой интерферометрии, выгодно отличается многофункциональностью системы компенсации РИ, описанная в [5]. Она состоит из волновода вида полый канал в диэлектрике (ВКД) и расположенной между ним и неоднородностью положительной линзы. Однако, наряду с компенсацией смещения оси ВП, такая система вносит значительное искажение поперечного распределения поля на выходе ВКД по отношению к входному полю. Кроме того, она не позволяет получить ВП с фокусировкой вблизи плоскости регистрации, способствующей повышению чувствительности приема. В настоящей работе установлено, что правильным выбором соотношений между параметрами ВКД и входного ВП можно не только значительно уменьшить искажения поля, но и упростить систему, убрав из нее линзу.

В [6] показано, что в ВКД с радиусом  $a$  при условии  $\frac{W}{a} \geq 0.6$  (где  $W$  – радиус центральной части ВП, через которую проходит половина потока его энергии) существуют сечения с локализацией (фокусировкой) поля на оси волновода. Плоскости локализации расположены на расстояниях  $z_g = \frac{g\alpha^2}{\lambda}$  от входного торца ВКД, где  $g\epsilon$ ] 0.7, 1.7 [U] 1.8, 2.4 [U] 4.2, 5.2 [U] 5.4, 5.9 [U] 7.6, 8.5 [U] 10.1, 11.7 [U] 13.5, 14.2 [U] 14.4, 15.3 [. Для фокусирующего ВКД длиной  $L = z_g$  характерна высокая устойчивость распределения выходного поля по отношению к изменениям входного, в том числе и к отклонениям направления ввода пучка относительно оси ВКД. Это явилось основанием для исследования компенсирующих свойств фокусирующих ВКД в схемах с паразитным отклонением пучка за счет рефракции на неоднородностях.

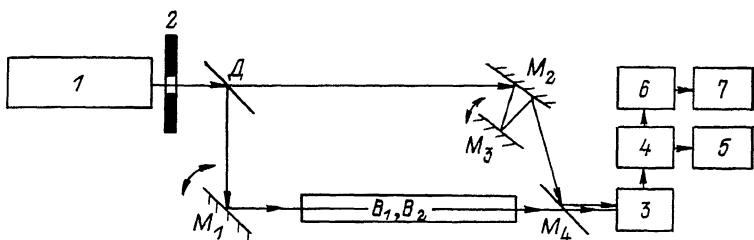


Рис. 1. Схема экспериментальной установки. 1 - лазер, 2 - механический модулятор, 3 - пироэлектрический приемник, 4 - селективный усилитель, 5 - осциллограф, 6 - линейный детектор, 7 - самопищий микроамперметр, Д - делитель пучка,  $M_1$  - вращающееся зеркало,  $M_2$ ,  $M_3$  - поворотные зеркала,  $M_4$  - полупрозрачное зеркало,  $B_1$ ,  $B_2$  - волноводы вида канал в диэлектрике.

В качестве контролируемых параметров были выбраны форма поперечного распределения интенсивности и дополнительный фазовый набег на выходе волновода, регистрируемый в приосевой области. Исследования проводились на установке, принципиальная схема которой представлена на рис. 1. Источником излучения служил волноводный HCN - лазер с высокочастотным возбуждением (1), на выходе которого формировалась волна типа  $E_{H_11}$ . Действие неоднородности моделировалось с помощью поворота рефлектора  $M_1$  на оси, расположенной в одной плоскости с осью ВКД перпендикулярно ей.

Отклоненный зеркалом  $M_1$  пучок направлялся в ВКД, исследуемый в качестве компенсирующего элемента и расположенный на расстоянии от зеркала 50 см (размер, характерный для современных плазменных установок [1]). Угол  $\alpha$  между осями ВКД и возбуждающего его пучка определялся по шкале устройства поворота  $M_1$ , предварительно прокалиброванной по лучу He-Ne-лазера. Излучение детектировалось пироэлектрическим приемником (3) на основе кристалла  $LiTaO_3$  с рабочей площадью  $2 \times 2 \text{ mm}^2$ . Путем сканирования детектора в поперечном направлении фиксировалось распределение интенсивности поля ВП в плоскости приема.

Для регистрации изменения фазового набега ВП с помощью делителя Д, поворотных зеркал  $M_2$ ,  $M_3$  и полупрозрачного  $M_4$  создавался опорный канал интерферометра. Настройка интерферометра производилась перемещением зеркала  $M_3$ , установленного в измерительной линии ИЗА-2. Поступательному смещению  $M_3$  на расстояние  $\Delta$  соответствовало изменение фазового набега опорной волны на величину  $\varphi = \frac{4\pi\Delta}{\lambda}$ . Точность измерения  $\Delta$  составляла 1 мкм. Контрастность интерференционной картины была не хуже 0.95.

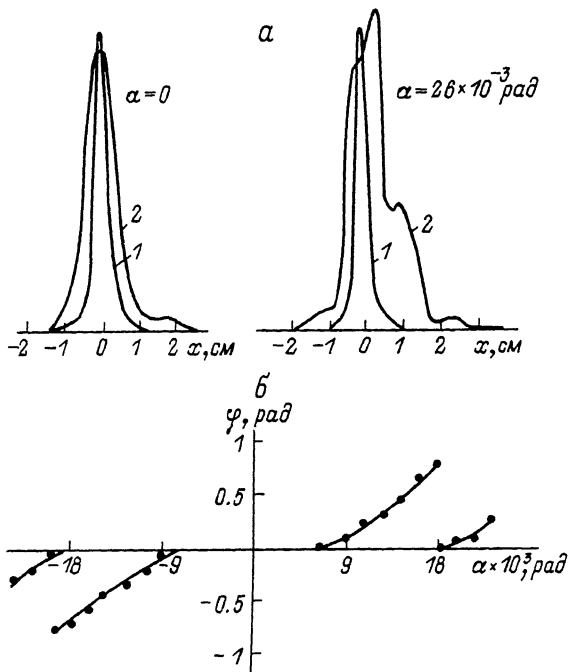


Рис. 2. Результаты эксперимента. а – распределения интенсивности в относительных единицах на выходе из волновода в случаях соосного и косого падения пучка излучения; б – зависимость фазового набега в интерферометре от угла входа пучка излучения измерительного канала в компенсирующий волновод.

При  $\alpha=0$  устанавливался минимум интерференционного сигнала. С изменением  $\alpha$  сигнал интерференции изменялся. Перемещением  $M_3$  вновь устанавливался минимальный уровень сигнала и определялся фазовый набег ВП на выходе ВКД, обусловленный изменением угла ввода пучка в волновод.

Результаты экспериментов, приведенные на рис. 2, относятся к использованию в качестве компенсаторов волноводов из кварца (кривые 1) и стекла (кривые 2) с параметрами  $\alpha=9.5$  мм,  $L=145$  см и  $\alpha=18$  мм,  $L=230$  см соответственно. Кварцевый волновод  $B_1$  полностью удовлетворял условиям фокусировки излучения на его выходе ( $g=5.4$ ,  $\frac{W}{\alpha}=0.6$ ). Параметры стеклянного волновода  $B_2$  несколько отличались от оптимальных ( $g=2.4$ ,  $\frac{W}{\alpha}=0.4$ ). В обоих случаях наблюдался эффект компенсации влияния рефракционных искажений на контролируемые параметры ВП при отклонениях оси

исходного пучка на  $M_1$ , до значений  $\alpha$  порядка нескольких мрад. В опыте с волноводом  $B_2$  искажения выходного пучка значительней, чем с  $B_1$ , но намного меньше, чем при произвольном выборе геометрии ВКД в линзово-волноводном компенсирующем устройстве [5]. В то же время при применении  $B_2$  наблюдается компенсация более значительных углов отклонения пучка  $\alpha$ , чем при  $B_1$ . Это объясняется тем, что с увеличением  $\alpha$  увеличивается число и энергетический вклад высших мод в пространственном спектре пучка, распространяющегося в ВКД. Для волновода  $B_2$  параметр

$g = \frac{4\lambda}{\alpha^2}$  более чем вдвое меньше, чем для  $B_1$ . Поэтому для последнего значительно больше дополнительные фазовые набеги мод (пропорциональные  $g$ ) и больше рост фазового набега ВП на выходе ВКД, возникающий при увеличении  $\alpha$ .

Таким образом, размещение фокусирующего волновода в измерительном канале субмиллиметрового интерферометра решает проблему компенсации рефракционных искажений и повышает точность интерференционных измерений без применения дополнительных оптических элементов. Одновременно решаются задачи транспортировки излучения и повышения чувствительности приема сигнала интерференции.

#### С п и с о к л и т е р а т у р ы

- [1] Лукьянов С.Ю. Диагностика термоядерной плазмы, М.: Энергоатомиздат, 1985. 168 с.
- [2] Ананьев Ю.А. // Оптика и спектроскопия. 1968. Т. 65. В. 4. С. 963-966.
- [3] Мальцева Н.А., Пресняков Ю.П. // Оптика и спектроскопия. 1987. Т. 62. В. 3. С. 664-668.
- [4] Малых Н.И., Рождественский В.В. Сб. Диагностика плазмы. М.: Энергоатомиздат, 1986. В. 5. 89-113.
- [5] Uesudi Y., Matoba T., Ochiai J., Mizumoto K. // Rev. Sci. Instrum, 1986. V. 57 (7). P. 1290-1295.
- [6] Епишин В.А., Маслов В.А., Рябых В.Н., Свич В.А., Толков А.Н. // Письма в ЖТФ. 1988. Т. 14. В. 14. С. 1335-1338.

Харьковский государственный  
университет им. А.М. Горького

Поступило в Редакцию  
10 апреля 1989 г.